

混合砂れきの流送機構に関する考察

京都大学工学部 正会員 土屋義人
 京都大学防災研究所 ノ・道工正規
 澄西電力 K.K. ノ 吉川太

1. 緒言

自然砂は河川および海岸にみられるうえ、粒度分布が広がりのあるいわゆる混合砂れきで構成されている。したがって、混合砂れきの流送特性を把握しなければ、実河川における流出土砂量を正確に推定するることは非常に困難である。ところが、従来砂れきの流送機構に関する研究は数多く行なわれて来たが、それは均一砂れきに関するものばかりとんどりあって、混合砂れきに関する研究は非常に数少ないのが現状であり、その流送機構についてもほとんど明らかにされていない。しかし混合砂れきの流送特性を窺明するため、著者らがすでに実施して来た均一砂れきの流送に関するトレーサー実験と同样な手法を用いて、混合砂れきに関する実験を行ない、各種粒径ごとの砂れきの移動分布の測定結果から、混合特性を論じようとするものである。

2. 実験の概要

実験水路は、断面が $200\text{cm} \times 50\text{cm}$ 、長さ 30m の循環式水路で、河床ミク配が $1/38$ にならうに 5cm の厚さで混合砂れきを敷いた。使用した混合砂れきは図-1 に示す A 砂と C 砂れきを混合して、中央粒径が 3.5mm になるうにしたものと A, B および C 砂れきを混合して、中央粒径が 3.5mm になるうにしたものとの 2 種類である。トレーサーとしては、螢光塗料を工記の砂れきに塗ったものを用い、紫外線ランプで照射してその発見を容易にした。水路下流端から 13.5m の位置に各粒径の砂れきのトレーサーを $100 \sim 150$ 個づつ配置し、その移動分布の特性を測定した。

3. 実験結果と考察

砂れきの移動を 1 つの確率過程で表わし、その確率的特性を均一砂れきの場合に種々検討した結果、流砂現象をそれによつて表示することの可能性を確かめた。ここでは、ミクス考え方を混合砂れきの移動に関するも適用することにしよう。図-2 は 3 種類の砂れきを混合した場合のトレーサーの 10sec 後の移動分布特性を示したものである。図中の曲線は理論式によつて計算したものである。実験値は砂速の影響および河床砂れきの分離などにより、理論曲線から若干はずれていが、その特性はよく一致している。また、この図から明らかのように、混合砂れき中の大きな砂れきは、小さなもののよりも大きい移動速度を有するこことがわかる。

つづく、混合特性を検討するため、各種粒径ごとの砂れきの移動を検討することにしよう。図-3 および 4 は各粒径ごとの砂れきの平均移動速度 m/sec を摩擦速度 u_* で除したものと統軸にとり、横軸に $1/u_* = U_*^2 / (g/\rho - 1) d$ をと

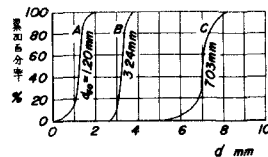


図-1 使用砂れきの粒度分布

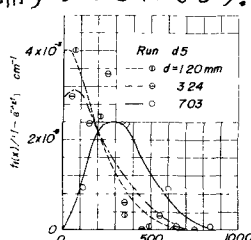


図-2 トレーサーの移動分布特性

つて示したものである。なお、図-3 および 4 は 2 種類ある 3 種類の砂れきを混合した場合の実験結果である。図中の曲線(1)は摩擦力が相対速度の 2乗に比例する流体抵抗とつり合って、砂れきが滑動する場合の移動速度を表してあり、その関係は次式で表される。

$$V_t/U_* = Ar - (4\bar{\mu}\psi/3C_0)^{1/2} \quad (1)$$

ここに、 V_t ；砂れきの転動速度、 $\bar{\mu}$ ；摩擦係数ある ψ 、 C_0 ；抗力係数であって、(1)式を計算する際に、 $Ar=8.5$ 、 $\bar{\mu}=0.45$ ある $C_0=1.0$ として。曲線(2)は均一砂れきの平均移動速度を示す実験式で、次式で表示される。

$$V_t/U_* = 4.5\psi^{1/2} (1/4 - 1/4e^{\psi})^{1/2} \quad (2)$$

これらの図から明らかのように、混合砂れき中の小さな粒径の砂れきの平均移動速度は均一砂れきのそれよりも小さくなっている。一方大きな砂れきの平均移動速度は均一砂れきのそれよりも大きくなっている。従来混合特性としては、混合砂れき中の小さな砂れきに因する競争がなされたときに、混合砂中の大粒径砂れきに因しても検討されなければならぬことが指摘される。ここでは、混合砂れき中の大きな砂れきの移動速度について考察を試みる。混合砂れき床面は、砂れきが不規則に並んでいて、その配列を厳密に調べることは非常に困難であるので、河床を図-5 のようないわゆるモデル化した。最大粒径の砂れきがそれよりも小粒の砂れきで構成された部分 F_1 を移動する場合は、滑動して(1)式に従う速度を有し、それと同粒径の砂れきで構成された部分 F_2 では、均一砂れき床面を砂れきが移動する場合の速度を有するものと仮定する。さらに、混合砂れき床面中、最大粒径の砂れきが単位面積あたりに占める面積割合を f とすれば、 F_1 の面積率は f となり、 F_2 の面積率は $(1-f)$ となる。これらの関係を数学的に表現すれば、最大粒径の砂れきの移動速度は、

$$V_t/U_* = f\lambda_1/(1-f)\lambda_2 = (V_t/U_*)(D_t/U_*)/(f(1-f)(D_t/U_*) + f(D_t/U_*) \quad (3)$$

とする。上式に実験結果から求めた f の値として 0.15 ある 0.07 を代入し図示したものが、それが図-3 および 4 の曲線(3)である。曲線(3)は混合砂れき中の大きな砂れきの移動速度を示す二つの数を示している。図-6 は Einstein の提案した遮蔽係数と類似する実験結果を示したものである。この図から明らかのように、混合砂れき中の大きな砂れきの流砂量は均一砂れきのそれよりも大きくなっていることを示す。最後に、御指導戴いた矢野勝正教授に謝意を表明する。

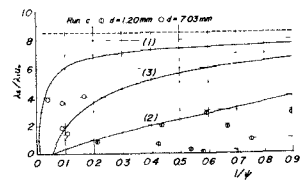


図-3 砂れきの移動速度と $1/d$ との関係

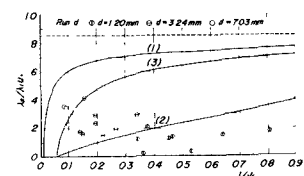


図-4 砂れきの移動速度と $1/d$ との関係

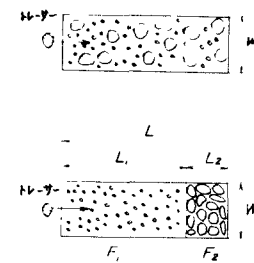


図-5 河床砂れき面のモデル化図

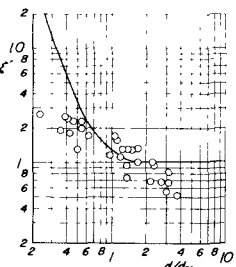


図-6 混合特性に関する実験結果